

ΕΕΕ725 - Ειδικά Θέματα Ψηφιακών
Επικοινωνιών

Δημήτρης - Αλέξανδρος Τουμπακάκης
4ο Μάθημα – 8 Νοεμβρίου 2007

Περιεχόμενα σημερινού μαθήματος

- Ανίχνευση: **MAP** και **ML**
- Το κανάλι Προσθετικού Δευκού Γκαουσιανού Θορύβου (**AWGN**)
- Πιθανότητα Σφάλματος στο Κανάλι **AWGN**
- Κατηγορίες Δομησιμών

Ανίχνευση Μέγιστης εκ των Υστέρων Πιθανότητας (Maximum a posteriori probability (MAP) detection)

- Έστω ότι ο πομπός εκπέμπει το μήνυμα m_i και ότι ο δέκτης λαμβάνει σήμα y . $P_{e|y} = Pr(\hat{m} = m_i | \mathbf{Y} = \mathbf{y}) = p_{M|Y}(m_i | \mathbf{y}) = p_{\mathbf{X}|Y}(\mathbf{x}_i | \mathbf{y})$ (γιατί;)
- Ορισμός: Ο ανιχνευτής MAP επιλέγει το σήμα \mathbf{x}_i που μεγιστοποιεί την εκ των υστέρων πιθανότητα $p_{\mathbf{X}|Y}(\mathbf{x}_i | \mathbf{y})$ δεδομένου ότι ελήφθη το σήμα \mathbf{y} .
- Από το θεώρημα Bayes, $p_{\mathbf{X}|Y}(\mathbf{x}_i | \mathbf{y}) = \frac{p_{Y|\mathbf{X}}(y | \mathbf{x}_i) p_{\mathbf{X}}(\mathbf{x}_i)}{p_Y(\mathbf{y})}$.
- Δεδομένου ότι ο παρανομαστής $p_Y(\mathbf{y})$ είναι κοινός για όλες τις $p_{\mathbf{X}|Y}(\mathbf{x}_i | \mathbf{y})$, ο ανιχνευτής MAP μπορεί να υλοποιηθεί ως εξής:

$$\hat{m} = m_i \text{ εάν } p_{Y|\mathbf{X}}(\mathbf{y} | \mathbf{x}_i) p_{\mathbf{X}}(\mathbf{x}_i) \geq p_{Y|\mathbf{X}}(\mathbf{y} | \mathbf{x}_j) p_{\mathbf{X}}(\mathbf{x}_j) \quad \forall j \neq i.$$

Ανίχνευση Μέγιστης Πιθανοφάνειας (Maximum Likelihood (ML) detection)

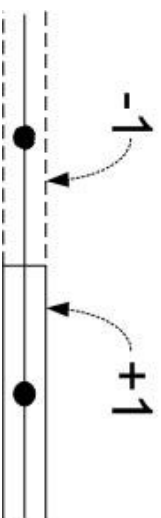
- Εάν όλα τα μεταδιδόμενα σύμβολα (και μηνύματα) είναι ισοπίθανα: $p_{\mathbf{X}}(\mathbf{x}_i) = \frac{1}{M}$, $i = 0, 1, \dots, M - 1$, ο κανόνας ανίχνευσης MAP ατλοποιείται στον κανόνα ανίχνευσης ML

$$\hat{m}_i = m_i \text{ εάν } p_{\mathbf{Y}|\mathbf{X}}(\mathbf{y}|\mathbf{x}_i) \geq p_{\mathbf{Y}|\mathbf{X}}(\mathbf{y}|\mathbf{x}_j) \quad \forall j \neq i.$$

- Ο ανιχνευτής ML χρησιμοποιείται συχνά σε Ψηφιακά Συστήματα. Ωστόσο, μερικές φορές η εύρεση αναλυτικής έκφρασης για τις $p_{\mathbf{Y}|\mathbf{X}}(\mathbf{y}|\mathbf{x}_i)$ ενδέχεται να είναι αδύνατη ή οι εκφράσεις μπορεί να είναι πολύπλοκες. Για το λόγο αυτό πολλοί δέκτες χρησιμοποιούν προσεγγιστικούς κανόνες (με αιτιολόγηση να αυξάνεται η πιθανότητα λάθους σε σχέση με την ανίχνευση ML).

Περιοχές Αποφάσεων (Decision (Voronoi) Regions)

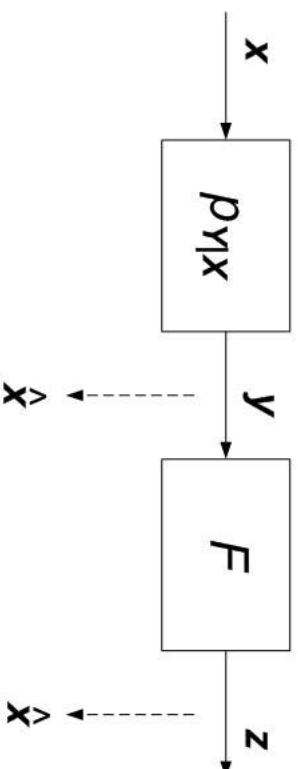
- Προκειμένου να μην υπολογίζεται η τιμή των συναρτήσεων $p_{\mathbf{y}|\mathbf{x}}(\mathbf{y}|\mathbf{x}_i)$ (ή του γινομένου τους με τις $p_{\mathbf{x}}(\mathbf{x}_i)$) στο δέκτη κάθε φορά που λαμβάνεται ένα σήμα \mathbf{y} , μπορεί να έχει προσδιοριστεί εκ των προτέρων το σήμα \mathbf{x}_i που προκύπτει από τον κανόνα ML (ή MAP) για κάθε πιθανή τιμή του λαμβανόμενου σήματος \mathbf{y} .
- Ο δέκτης προσδιορίζει την περιοχή του Ευκλείδειου χώρου (περιοχή απόφασης) στην οποία ανήκει το \mathbf{y} το οποίο λαμβάνει, και με βάση την περιοχή αποφασίζει για το μεταδοθέν σήμα.
- Οι περιοχές απόφασης για το δέκτη ML του καναλιού με δυαδική μετάδοση και γκαουσιανό θόρυβο που εξετάσαμε ενωρίτερα φάνοονται στο σχήμα. Μαθηματικά, εάν $\mathbf{y} < 0 \rightarrow \mathbf{x} = -1$, ενώ εάν $\mathbf{y} \geq 0 \rightarrow \mathbf{x} = +1$.



- Θα δούμε στη συνέχεια ότι, στην περίπτωση γκαουσιανού καναλιού, οι κανόνες MAP και ML αλληλοποιούνται σημαντικά σε σχέση με τη γενική τους μορφή.

Θεώρημα Αντιστρεψιμότητας (Reversibility Theorem)

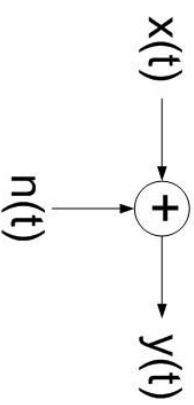
- Η εφαρμογή αντιστρέψιμου μετασχηματισμού στο δίδυμο εξόδου y του καναλιού δεν επηρεάζει την επίδοση του ανιχνευτή MAP.
- Ειδικότερα, στο σχήμα, εφόσον ο μετασχηματισμός F είναι αντιστρέψιμος, η εκτίμηση MAP που βασίζεται στο y θα είναι ίδια με την εκτίμηση MAP που βασίζεται στο z .
- Φυσικά, οι περιοχές απόφασης των δύο ανιχνευτών MAP θα είναι, στη γενική περίπτωση, διαφορετικές.



Το κανάλι Προσθετικού Δευκού Γκαουσιανού Θορύβου (**AWGN**)

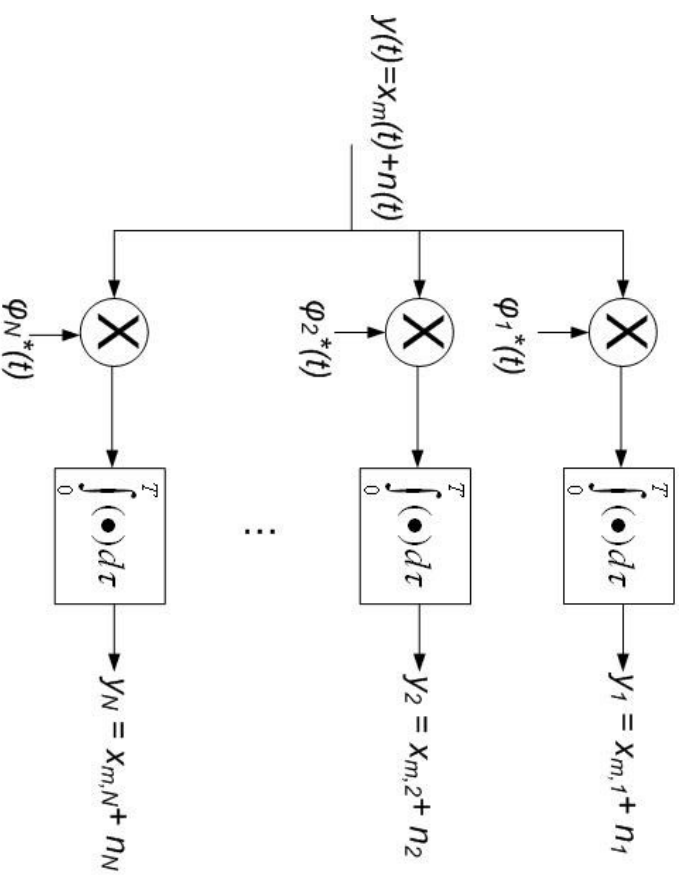
- Ανίχνευση: MAP και ML
- Το κανάλι Προσθετικού Δευκού Γκαουσιανού Θορύβου (**AWGN**)
 - Cioffi Ch. 1, Proakis Ch. 5
- Πιθανότητα Σφάλματος στο Κανάλι **AWGN**
- Κατηγορίες Αστερισμών

Το κανάλι **AWGN**



- Ο $\{n(t)\}$ είναι λευκός Γκαουσιανός Θόρυβος με $R_n(\tau) = \frac{N_0}{2}\delta(\tau)$ και $E[n(t)] = 0$. Τα δείγματά του ακολουθούν γκαουσιανή κατανομή $\mathcal{N}(0, \frac{N_0}{2})$.
- Εάν υποθέσουμε ότι η μετάδοση διαρκεί T s, $y(t) = x(t) + n(t)$, $t \in [0, T]$.
- Υποθέτουμε, επίσης, ότι το μεταδιδόμενο σήμα $x(t)$ ανήκει σε υπόχωρο \mathcal{V} του $\mathcal{L}_2[0, T]$ διάστασης N . Άρα, μπορεί να εκφραστεί με χρήση των συναρτήσεων βάσης του \mathcal{V} : $x(t) = \sum_{i=1}^N x_i \phi_i(t)$.
- Ο θόρυβος $n(t)$ είναι, στη γενική περίπτωση, άπειρης διάστασης, και, επομένως, οι N συναρτήσεις βάσης $\phi_i(t)$ δεν αρκούν για την περιγραφή του: $n(t) = \sum_{i=1}^N n_i \phi_i(t) + n'(t)$, όπου $n'(t) \in \mathcal{V}^\perp$.

Το διανυσματικό κανάλι **AWGN** μετά τον αποδιαμορφωτή



$$y_i = \int_0^T y(\tau) \phi_i^*(\tau) d\tau = \int_0^T (x_m(\tau) + n(\tau)) \phi_i^*(\tau) d\tau = x_{m,i} + n_i.$$

Το ίδιο αποτέλεσμα, προφανώς, προκύπτει εάν χρησιμοποιήσουμε προσαρμωμένα φίλτρα.

Το διανυσματικό κανάλι **AWGN** μετά τον αποδιαμορφωτή (2)

- $n_i = \int_0^T n(\tau)\phi_i^*(\tau)d\tau$. Η τ.μ. n_i είναι γκαουσιανή με μέση τιμή 0. Επίσης, μπορεί να αποδειχθεί ότι $E[n_i n_j] = \frac{N_0}{2}\delta_{ij} = \sigma^2\delta_{ij}$.
- Επομένως, τα στοιχεία n_i του διανύσματος θορύβου \mathbf{n} το οποίο υπερτίθεται στο διάστημα \mathbf{x}_m είναι μεταξύ τους ασυσχέτιστα και, επομένως, ανεξάρτητα (γιατί;).

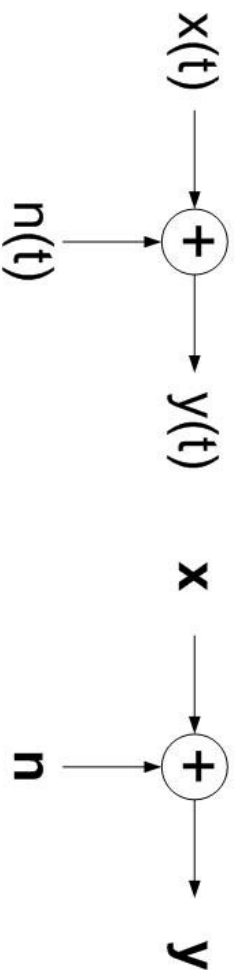
$$\begin{aligned} p(\mathbf{y}|\mathbf{x}_m) &= \prod_{i=1}^N p(y_i|x_{m,i}) = \prod_{i=1}^N \frac{1}{\sqrt{2\pi}\sigma} e^{-\frac{(y_i-x_{m,i})^2}{2\sigma^2}} \\ &= \frac{1}{(2\pi)^{N/2}\sigma^N} e^{-\left\{ \frac{\sum_{i=1}^N (y_i-x_{m,i})^2}{2\sigma^2} \right\}}. \end{aligned}$$

- Υπολογίσαμε, λοιπόν, την $p_{\mathbf{Y}|\mathbf{X}}(\mathbf{y}|\mathbf{x})$ για το διανυσματικό μοντέλο του καναλιού **AWGN**!

Το διανυσματικό κανάλι **AWGN** μετά τον αποδιαμορφωτή (3)

- Επομένως, αντί για το γκαουσιανό κανάλι αφιστερά μπορούμε ισοδύναμα να χρησιμοποιούμε το διανυσματικό γκαουσιανό κανάλι δεξιά, όπου το \mathbf{n} είναι ένα τυχαίο γκαουσιανό διάνυσμα N διαστάσεων με μηδενική μέση τιμή, ασυσχέτιστα μεταξύ τους στοιχεία n_i και κατανομή

$$p_{\mathbf{N}}(\mathbf{n}) = \frac{1}{(\pi N_0)^{N/2}} e^{-\frac{\sum_{i=1}^N |n_i|^2}{N_0}} = \frac{1}{(\pi N_0)^{N/2}} e^{-\frac{\|\mathbf{n}\|^2}{N_0}} = \frac{1}{(2\pi\sigma^2)^{N/2}} e^{-\frac{\|\mathbf{n}\|^2}{2\sigma^2}}.$$



Irrelevance του $n'(t)$.

- Δεν έχουμε, ακόμα, απαντήσει στο εξής ερώτημα: Η χρήση προσαρμωσμένου φίλτρου και, στη συνέχεια, του διανυσματικού μοντέλου καναλιού για να εκτιμήσουμε το μεταδεδειγμένο μήνυμα στο κανάλι **AWGN**, είναι ισοδύναμη με την εκτίμηση του m απευθείας από την $y(t)$ ή κατά τη μετατροπή έχει χαθεί κάποια πληροφορία;
- Μπορεί να αποδειχθεί ότι $E[n'(t)y_i] = 0$ (π.χ. Proakis Ch.5). Επομένως, το $n'(t)$ είναι ανεξάρτητο (γιατί;) των στοιχείων του \mathbf{y} και, συνεπώς, δεν προσφέρει καμία πληροφορία για την εκτίμηση του \mathbf{x} .
- Θυμηθείτε και το θεώρημα προβολής: Δεδομένου ότι το σήμα \mathbf{x}_m ανήκει στον υπόχωρο \mathcal{V} διάστασης N , για να ελαχιστοποιήσουμε το μέσο τετραγωνικό σφάλμα εκτίμησης πρέπει να βρούμε την προβολή του \mathbf{y} στον \mathcal{V} . Αυτό ακριβώς κάνουν ο αποδιαμορφωτής προσαρμωσμένων φίλτρων και ο συνελκτικώς αποδιαμορφωτής.
- Άρα, η χρήση προσαρμωσμένου φίλτρου (ή συσχετιστικού αποδιαμορφωτή) διατηρεί όλη την πληροφορία που σχετίζεται με την αντίγνευση των $x_{m,i}$.
- Για την ολοκληρωμένη απόδειξη, με χρήση του ότι το $n'(t)$ είναι irrelevant βλ. Cioffi Ch. 1.

Ανίχνευση MAP/ML στο γκαουσιανό διανυσματικό κανάλι

- Είδαμε ότι, για το γκαουσιανό διανυσματικό κανάλι,

$$p(\mathbf{y}|\mathbf{x}_i) = \frac{1}{(2\pi)^{N/2}\sigma^N} e^{-\frac{\|\mathbf{y}-\mathbf{x}_i\|^2}{2\sigma^2}}.$$

- Επομένως, ο κανόνας ανίχνευσης MAP για το γκαουσιανό κανάλι μπορεί να γραφτεί ως εξής:

$$\hat{m} = m_i \text{ εάν } p_{Y|X}(\mathbf{y}|\mathbf{x}_i)p_X(\mathbf{x}_i) \geq p_{Y|X}(\mathbf{y}|\mathbf{x}_j)p_X(\mathbf{x}_j) \quad \forall j \neq i$$

$$\hat{m} = m_i \text{ εάν } \frac{1}{(2\pi)^{N/2}\sigma^N} e^{-\frac{\|\mathbf{y}-\mathbf{x}_i\|^2}{2\sigma^2}} p_X(\mathbf{x}_i) \geq \frac{1}{(2\pi)^{N/2}\sigma^N} e^{-\frac{\|\mathbf{y}-\mathbf{x}_j\|^2}{2\sigma^2}} p_X(\mathbf{x}_j) \quad \forall j \neq i$$

$$\hat{m} = m_i \text{ εάν } e^{-\frac{\|\mathbf{y}-\mathbf{x}_i\|^2}{2\sigma^2}} p_X(\mathbf{x}_i) \geq e^{-\frac{\|\mathbf{y}-\mathbf{x}_j\|^2}{2\sigma^2}} p_X(\mathbf{x}_j) \quad \forall j \neq i$$

$$\hat{m} = m_i \text{ εάν } \|\mathbf{y} - \mathbf{x}_i\|^2 - 2\sigma^2 \ln\{p_X(\mathbf{x}_i)\} \leq \|\mathbf{y} - \mathbf{x}_j\|^2 - 2\sigma^2 \ln\{p_X(\mathbf{x}_j)\} \quad \forall j \neq i$$

Ανίχνευση **MAP/ML** στο γκαουσιανό διανυσματικό κανάλι

(2)

- Κανόνας **MAP**:

$$\hat{m} = m_i \text{ εάν } \| \mathbf{y} - \mathbf{x}_i \|^2 - 2\sigma^2 \ln\{p_{\mathbf{x}}(\mathbf{x}_i)\} \leq \| \mathbf{y} - \mathbf{x}_j \|^2 - 2\sigma^2 \ln\{p_{\mathbf{x}}(\mathbf{x}_j)\} \quad \forall j \neq i$$

- Κανόνας **ML** (γιατί;):

$$\hat{m} = m_i \text{ εάν } \| \mathbf{y} - \mathbf{x}_i \|^2 \leq \| \mathbf{y} - \mathbf{x}_j \|^2 \quad \forall j \neq i$$

- Άρα, ο ανιχνευτής **ML** επιλέγει το διάνυσμα \mathbf{x}_i με τη μικρότερη Ευκλείδεια απόσταση από το διάνυσμα \mathbf{y} στην έξοδο του αποδιαμορφωτή προσαρμωμένου φίλτρου. Ο ανιχνευτής **MAP** χρησιμοποιεί την απόσταση σε συνδυασμό με μια σταθερά που εξαρτάται από την κατανομή των \mathbf{x}_i .

Πιθανότητα Σφάλματος στο Κανάλι **AWGN**

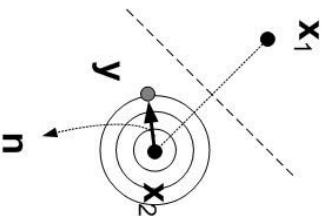
- Ανίχνευση: **MAP** και **ML**
- Το κανάλι Προσθετικού Λευκού Γκαουσιανού Θορύβου (**AWGN**)
- Πιθανότητα Σφάλματος στο Κανάλι **AWGN**
 - Cioffi Ch. 1, Proakis Ch. 5
- Κατηγορίες Αστερισμών

Πιθανότητα Σφάλματος στο Κανάλι **AWGN**

- Διανυσματικό γκαουσιανό κανάλι: $\mathbf{y} = \mathbf{x} + \mathbf{n}$.
- Πιθανότητα σφάλματος $P_e = \sum_{m=0}^{M-1} P_{e|m} p_m$, όπου $P_{e|m}$ η πιθανότητα σφάλματος δεδομένου ότι μεταδόθηκε το σημείο m του αστερισμού και p_m η πιθανότητα μετάδοσης του σημείου m .
- $P_e = \frac{1}{M} \sum_{m=0}^{M-1} P_{e|m}$ όταν όλα τα σύμβολα μεταδίδονται με την ίδια πιθανότητα.
- Περιστροφή αστερισμού: Εάν ο αστερισμός περιστραφεί στον Ευκλείδειο χώρο (σε κανάλια **AWGN**) η P_e δεν αλλάζει, επειδή η κατανομή του θορύβου παραμένει η ίδια και οι ευκλείδειες αποστάσεις τις οποίες χρησιμοποιεί ο ανιχνευτής **MAP** (και **ML**) διατηρούνται.
- Μετατόπιση αστερισμού: Η P_e παραμένει αμετάβλητη όταν ο αστερισμός μετατοπίζεται στον Ευκλείδειο χώρο.
- Για ένα δεδομένο αστερισμό, για να ελαχιστοποιήσουμε την ισχύ του, εάν $E[\mathbf{x}] \neq \mathbf{0}$ τον μετατοπίζουμε ώστε $E[\mathbf{x}] = \mathbf{0}$.
- Για λεπτομέρειες / αποδείξεις, βλ. π.χ. **Cioffi Ch. 1**.

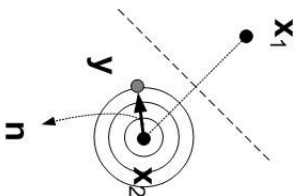
P_e για δυαδική μετάδοση

- Έστω ένας αστερισμός στο N —διάστατο χώρο με δύο σύμβολα και κανάλι AWGN. Ο ανιχνευτής ML θα επιλέξει το \mathbf{x}_i με τη μικρότερη Ευκλείδεια απόσταση από το \mathbf{y} . Ισοδύναμα, μπορεί να χρησιμοποιήσει την προβολή του \mathbf{y} στην κατεύθυνση $\mathbf{x}_2 - \mathbf{x}_1$ (γιατί;)



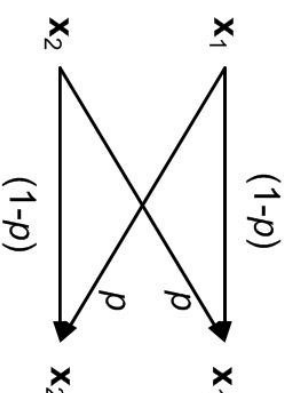
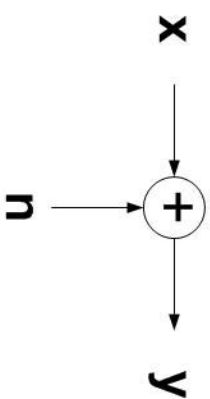
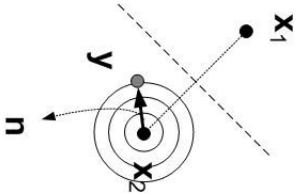
- Εάν προβάλουμε το γραμμικό προϊόν $\mathbf{x}_1 - \mathbf{x}_2$ παραμένει γραμμικό.
- Επιπλέον, δεδομένου ότι μεταδόθηκε το \mathbf{x}_2 , σφάλμα θα συμβεί όταν $\langle \mathbf{n}, \phi \rangle > \frac{\|\mathbf{x}_1 - \mathbf{x}_2\|}{2}$, όπου ϕ το μοναδιαίο διάνυσμα στην κατεύθυνση $\mathbf{x}_1 - \mathbf{x}_2$.

P_e για δυαδική μετάδοση (2)



- Επομένως, εάν $\|\mathbf{x}_2 - \mathbf{x}_1\| = d$, $P_e = Pr \{ \langle \mathbf{n}, \phi \rangle = \tilde{n} > \frac{d}{2} \}$.
- $P_{e|\mathbf{x}_1} = P_{e|\mathbf{x}_2} = P_e = \int_{\frac{d}{2}}^{\infty} f_{\tilde{N}}(n) dn = \int_{\frac{d}{2}}^{\infty} \frac{1}{\sqrt{2\pi}\sigma} e^{-\frac{n^2}{2\sigma^2}} dn = \int_{\frac{d}{2\sigma}}^{\infty} \frac{1}{\sqrt{2\pi}} e^{-\frac{u^2}{2}} du \Rightarrow$
 $P_e = Q\left(\frac{d}{2\sigma}\right)$, όπου $Q(x) = \frac{1}{\sqrt{2\pi}} \int_x^{\infty} e^{-\frac{u^2}{2}} du$ η συνάρτηση Q .
- Η Q δεν έχει αναλυτική έκφραση, αλλά μπορεί να προσεγγιστεί με φράγματα (βλ. π.χ. Cioffi Ch. 1 Appendix B, Lee & Messerschmitt Ch. 1).
- $Q(x) = \frac{1}{2} \operatorname{erfc}\left(\frac{x}{\sqrt{2}}\right)$ (Χρήσιμο στη Matlab).

P_e για δυαδική μετάδοση (3)



- Για τον υπολογισμό της P_e χρησιμοποιήσαμε γκαουσιανό κανάλι με 2 μεταδιδόμενα σήματα: \mathbf{x}_1 και \mathbf{x}_2 .
- Διανουσματοικό γκαουσιανό κανάλι: $f(\mathbf{y}|\mathbf{x}_i) = \frac{1}{(2\pi)^{N/2}\sigma^N} e^{-\frac{\|\mathbf{y}-\mathbf{x}_i\|^2}{2\sigma^2}}$, $i = 1$ και 2 .
- Εάν εκτιμήσουμε το κανάλι με κανόνα ML: $p(\hat{\mathbf{x}} = \mathbf{x}_i|\mathbf{x}_i) = 1 - P_e = 1 - Q\left(\frac{d}{2\sigma}\right)$. $p(\hat{\mathbf{x}} = \mathbf{x}_2|\mathbf{x}_1) = p(\hat{\mathbf{x}} = \mathbf{x}_1|\mathbf{x}_2) = P_e \Rightarrow$ Το κανάλι από το \mathbf{x} στο $\hat{\mathbf{x}}$ όταν χρησιμοποιείται δυαδικός ML είναι το δυαδικό συμμετρικό κανάλι (BSC) με $p = P_e$!
- Ειδομένως, ένα σύστημα μπορεί να περιγραφεται από διαφορετικά μοντέλα αναλόγως με την υλοποίηση και τα σήματα που χρησιμοποιούμε για την περιγραφή του.

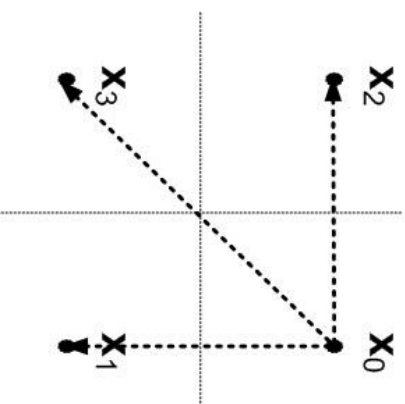
Ελάχιστη απόσταση αστερισμού

Η ελάχιστη απόσταση αστερισμού ορίζεται ως η ελάχιστη απόσταση μεταξύ οποιωνδήποτε δύο συμβόλων του αστερισμού.

$$d_{\min} \triangleq \min_{i \neq j} \|\mathbf{x}_i - \mathbf{x}_j\|.$$

Όπως θα δούμε σύντομα, η πιθανότητα λάθους στο δέκτη εξαρτάται σε μεγάλο βαθμό από τη d_{\min} του αστερισμού.

Union Bound



- Υποθέτουμε ότι έχει μεταδοθεί το \mathbf{x}_0 . Επομένως, η πιθανότητα σφάλματος ισούται με

$$\begin{aligned} P_{e|0} &\stackrel{\text{γιατί;}}{=} \sum_{i=1}^3 P_r\{\hat{\mathbf{x}} = \mathbf{x}_i | \mathbf{x} = \mathbf{x}_0\} < \stackrel{\text{γιατί;}}{=} \sum_{i=1}^3 Q\left(\frac{d_{0,i}}{2\sigma}\right) \\ &< \stackrel{\text{γιατί;}}{=} \sum_{i=1}^3 Q\left(\frac{d_{\min}}{2\sigma}\right) = 3Q\left(\frac{d_{\min}}{2\sigma}\right). \end{aligned}$$

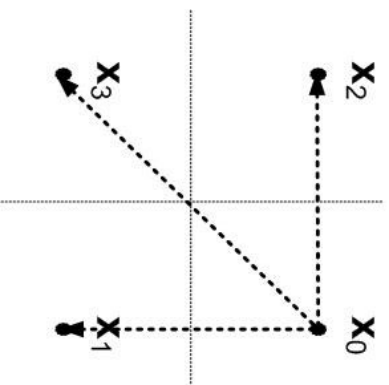
Union Bound (2)

- Ομοίως, για τα υπόλοιπα \mathbf{x}_i , $P_{e|i} < 3Q \left(\frac{d_{\min}}{2\sigma} \right)$.
- **Union bound:** $P_e < (N - 1)Q \left(\frac{d_{\min}}{2\sigma} \right)$, όπου N ο αριθμός των σημάτων του α-στερισμού.
- Άνω φράγμα, αλλά σπανίως ακριβές. Πολλές φορές απέχει πολύ από την πραγματική P_e .
- Καλύτερο φράγμα: **Nearest Neighbor Union Bound (NNUB)**.

Nearest Neighbor Union Bound (NNUB)

- $$P_e \leq N_e Q\left(\frac{d_{\min}}{2\sigma}\right),$$

όπου $N_e = \sum_{m=0}^{M-1} N_m p_{\mathbf{x}_m}$, N_m ο αριθμός των συμβόλων του αστερισμού των οποίων οι περιοχές απόφασης εφάπτονται με αυτή του \mathbf{x}_m .



- Στο προηγούμενο παράδειγμα, εάν ο θόρυβος διασχίσει την οριζόντια ή την κάθετη γραμμή θα έχουμε σφάλμα μετάδοσης. Επομένως, P_e ^{γιατί;} $< 2Q\left(\frac{d_{\min}}{2\sigma}\right)$. Παρατηρήστε ότι $N_e = 2$ (έχουμε υποθέσει ότι τα μεταδιδόμενα σήματα είναι ισοπίθανα).

Nearest Neighbor Union Bound (NNUB) (2)

- Συχνά, για τον υπολογισμό του μέσου αριθμού γειτόνων $N_e = \sum_{m=0}^{M-1} N_m p_{\mathbf{x}_m}$ χρησιμοποιούνται μόνο οι γείτονες κάθε συμβόλου \mathbf{x}_m οι οποίοι απέχουν την ελάχιστη Ευκλείδεια απόσταση d_{\min} .
- Στην περίπτωση αυτή το προσεγγιστικό NNUB που προκύπτει ενδέχεται να μην είναι άνω φράγμα της P_e .
- Ωστόσο, στην πράξη, αποτελεί συνήθως καλή προσέγγιση της P_e με αποτέλεσμα πολλές φορές όταν σχεδιαστές αναφέρονται στο NNUB να εννοούν το προσεγγιστικό NNUB.

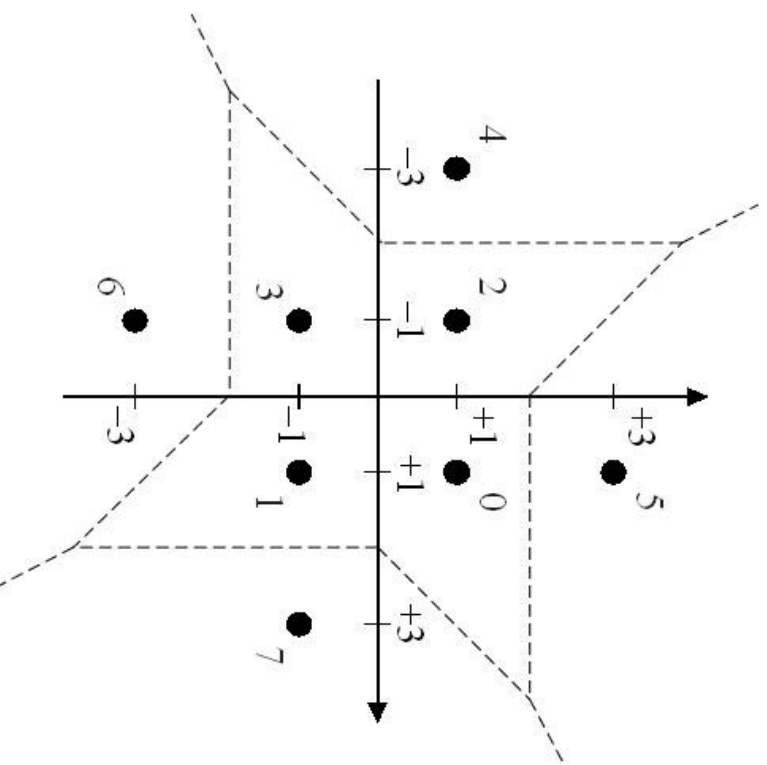
\bar{P}_e : Πιθανότητα σφάλματος ανά διάσταση

- Η σύγκριση συστημάτων με βάση την P_e δεν είναι πάντα δίκαιη. Για παράδειγμα, σε ένα κανάλι **AWGN** ένα σύστημα **QPSK** υπόκειται σε θόρυβο σε δύο διαστάσεις, ενώ ένα σύστημα **BPSK** σε θόρυβο σε μία διάσταση.
- Επιπλέον, το σύστημα **BPSK** μεταδίδει 1 ψηφίο ανά χρήση του καναλιού, ενώ το σύστημα **QPSK** 2 ψηφία ανά χρήση του καναλιού (άρα 1 ψηφίο ανά διάσταση).
- Ειδομένως, ένα πιο δίκαιο μέτρο σύγκρισης είναι η πιθανότητα σφάλματος ανά διάσταση: $\bar{P}_e = \frac{P_e}{N}$.
- Εναλλακτικά, μπορεί κανείς να χρησιμοποιήσει την πιθανότητα σφάλματος ανά φωνητικό μεταδιδόμενων ψηφίων: $\frac{P_e}{b} = \frac{P_e}{\log_2 M}$.

Ρυθμός Σφάλματος Ψηφίων (**Bit Error Rate – BER**)

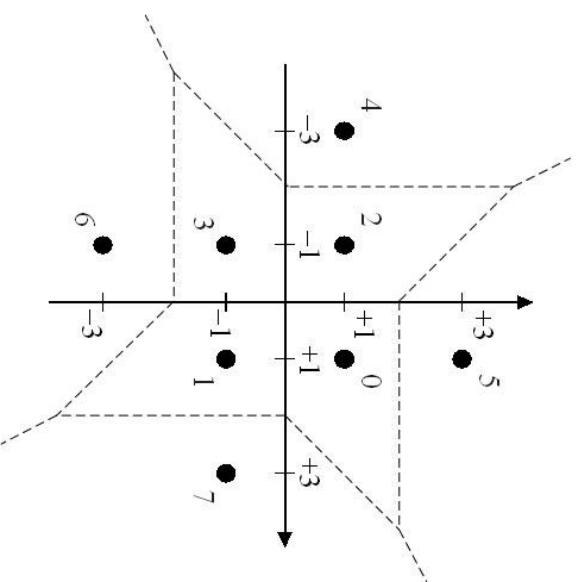
- Όταν μας ενδιαφέρει η πιθανότητα λανθασμένης μετάδοσης ψηφίων (**bits**) η P_e δεν αρκεί πάντα από μόνη της για την περιγραφή της απόδοσης ενός συστήματος.
- Έτσι, για παράδειγμα, ένα σύστημα το οποίο χρησιμοποιεί μόνο 2 σήματα (π.χ. **BPSK**) και ένα άλλο το οποίο χρησιμοποιεί 64 πιθανά σήματα (π.χ. **64-QAM** όπως θα δούμε αργότερα). Σε ένα σύστημα **BPSK** όταν γίνει λάθος στο σήμα που αποκωδικοποιείται γίνεται αυτόματα και λάθος στο ψηφίο. Ωστόσο, σε ένα καλά σχεδιασμένο σύστημα **64-QAM** ακόμα και αν γίνει λάθος στην ανίχνευση του σήματος στο δέκτη, κάποια από τα ψηφία ενδέχεται να αποκωδικοποιηθούν σωστά.
- Υπάρχουν διάφοροι παρόμοιοι ορισμοί για το **BER**. Εμείς θα χρησιμοποιήσουμε $\text{BER} = Pr\{\text{αντιστροφή ψηφίου στο δέκτη}\}$ (το οποίο από κάποιους ονομάζεται πιθανότητα σφάλματος ψηφίου \bar{P}_b).

Παράδειγμα: **VDSL2 “8-QAM”**



Στο σχήμα, $d_{\min} = 2$. Ο αριθμός σε κάθε σήμα δηλώνει το αντίστοιχο μήγυμα. Για παράδειγμα, το σήμα (+1, +3) αντιστοιχεί στο m_5 ή στην ακολουθία ψηφίων 101.

Παράδειγμα: VDSL2 “8-QAM” (2)



- Μέση ενέργεια του αστερισμού: $\mathcal{E}_x = \sum_m \|\mathbf{x}_m\|^2 p_m = \frac{1}{8} \left(4 \frac{d_{\min}^2}{2} + 4 \frac{5d_{\min}^2}{2} \right) = \frac{3}{2} d_{\min}^2 = 6$. $\bar{\mathcal{E}}_x = 3$.
- Εάν ο δέκτης χρησιμοποιεί προσαρμοσμένο φίλτρο: $\text{SNR} = \frac{\mathcal{E}_x}{\sigma^2} = \frac{3d_{\min}^2}{2\sigma^2}$.

Παράδειγμα: **VDSL2 “8-QAM”** (3)

- Union bound: $P_e < 7Q(d_{\min}/2\sigma) \Rightarrow \bar{P}_e = \frac{P_e}{2} = 3.5Q(d_{\min}/2\sigma)$.
- Nearest neighbors: Όλα τα σήματα έχουν 4 γείτονες.
 - Τα $\mathbf{x}_0, \mathbf{x}_1, \mathbf{x}_2$ και \mathbf{x}_3 έχουν 3 γείτονες σε απόσταση $d_{\min} = 2$ και 1 γείτονα σε απόσταση $2\sqrt{2}$.
 - Τα $\mathbf{x}_4, \mathbf{x}_5, \mathbf{x}_6$ και \mathbf{x}_7 έχουν 1 γείτονα σε απόσταση $d_{\min} = 2$, 1 γείτονα σε απόσταση $2\sqrt{2}$ και 2 γείτονες σε απόσταση $2\sqrt{5}$.
 - NNUB: $P_e < 4Q(d_{\min}/2\sigma) \Rightarrow \bar{P}_e < 2Q(d_{\min}/2\sigma)$.
 - Εάν κρατήσουμε μόνο τους πιο κοντινούς γείτονες κάθε σήματος: $P_e \approx \sum_{m=0}^3 \frac{1}{8} 3Q(d_{\min}/2\sigma) + \sum_{m=4}^7 \frac{1}{8} Q(d_{\min}/2\sigma) = 2Q(d_{\min}/2\sigma) \Rightarrow \bar{P}_e \approx Q(d_{\min}/2\sigma)$.
- Παρατηρούμε ότι τα εξωτερικά σήματα του αστερισμού είναι λιγότερο επιρρεπή σε σφάλμα μετάδοσης από ότι τα εσωτερικά.

Παράδειγμα: **VDSL2 “8-QAM”** (4)

- Έστω ότι μεταδόθηκε το \mathbf{x}_0 . Θεωρούμε μόνο τους γείτονές του σε απόσταση d_{\min} . Εάν αντί για \mathbf{x}_0 ο δέκτης αποφασίσει \mathbf{x}_1 ή \mathbf{x}_2 θα εμφανιστεί σφάλμα (αναστροφή) σε 1 από τα 3 ψηφία. Εάν αποφασίσει \mathbf{x}_5 θα εμφανιστεί σφάλμα σε 2 ψηφία. Επομένως, ο μέσος αριθμός σφαλμένων ψηφίων όταν συμβεί σφάλμα κατά την αποκωδικοποίηση του \mathbf{x}_0 ισούται προσεγγιστικά με $n_b(0) \approx \frac{4}{3}$. Παρομοίως, $n_b(1) = n_b(2) = n_b(3) \approx \frac{4}{3}$.
- Έστω, τώρα, ότι μεταδίδεται το \mathbf{x}_5 . Εάν αντί για \mathbf{x}_5 ο δέκτης αποφασίσει \mathbf{x}_0 θα εμφανιστεί σφάλμα (αναστροφή) σε 2 από τα 3 ψηφία. Συνεπώς, $n_b(5) = n_b(6) = n_b(7) = n_b(8) \approx 2$.
- Μέσος αριθμός σφαλμένων ψηφίων δεδομένου ότι συνέβη σφάλμα: $N_b \approx \frac{5}{3}$.
- Μέσος αριθμός σφαλμένων ψηφίων: $P_b \approx N_b Q\left(\frac{d_{\min}}{2\sigma}\right) \approx \frac{5}{3} Q\left(\frac{d_{\min}}{2\sigma}\right)$. (δεν είναι πιθανότητα – ενδέχεται να υπερβαίνει το 1).
- $\text{BER} = \bar{P}_b = \frac{P_b}{b} \approx \frac{5}{9} Q\left(\frac{d_{\min}}{2\sigma}\right)$.
- Συνήθως, η ποσότητα που καθορίζει την P_e και το BER είναι το όριο της $Q(\cdot)$ η οποία ελαττώνεται (σχεδόν) εκθετικά. Ο αριθμός των γειτόνων ή το N_b επιδρά σημαντικά μόνο όταν έχει μεγάλη τιμή ή σε χαμηλούς SNR.

Πώς συγκρίνουμε διαφορετικές διαμορφώσεις μεταξύ τους;

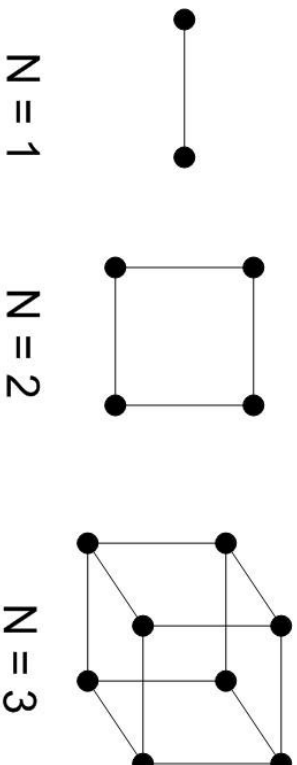
- Για να υλοποιήσουμε τις συναρτήσεις βόσης οι οποίες χρησιμοποιούνται για τη διαμόρφωση χρησιμοποιούμε τους πόρους του καναλιού: χρόνο, συγχρότητα και χώρο. Κάθε μία από τις N διαστάσεις έχει κόστος γιατί απαιτεί χρήση κάποιων από τους πόρους του συστήματος.
- Για παράδειγμα, ένα σύστημα 2 διαστάσεων μπορεί να υλοποιηθεί με εναλλάξ μετάδοση στο χρόνο κάθε διάστασης ή με χρήση δύο περιοχών συχνοτήτων.
- Για δίκαιη σύγκριση συστημάτων, πρέπει να λαμβάνονται υπόψη όλες οι παρακάτω ποσότητες:
 1. Ο ρυθμός μετάδοσης R .
 2. Η χρησιμοποιούμενη ισχύς P_x .
 3. Το συνολικό εύρος ζώνης W που χρησιμοποιεί το σύστημα.
 4. Η περίοδος T_s που διαρκεί η μετάδοση κάθε συμβόλου.
 5. Το BER ή η P_e .
- Αν οι παραπάνω ποσότητες κανονικοποιηθούν κατάλληλα, 3 ποσότητες αρκούν για σύγκριση συστημάτων: **1.** Ο αριθμός ψηφίων ανά διάσταση $\bar{b} = \frac{b}{N}$, **2.** Η ενέργεια ανά διάσταση $\bar{\xi}_x = \frac{\xi_x}{N}$ και **3.** Η κανονικοποιημένη πιθανότητα σφάλματος $\bar{P}_e = \frac{P_e}{N}$.

Κατηγορίες Αστερισμών

- Ανίχνευση: **MAP** και **ML**
- Το κανάλι Προσθετικού Δευκού Γκραουσιανού Θορύβου (**AWGN**)
- Πιθανότητα Σφάλματος στο Κανάλι **AWGN**
- Κατηγορίες Αστερισμών
 - Cioffi Ch. 1

Κυβικοί Αστερισμοί (Cubic Constellations)

- Αριθμός διαστάσεων $N =$ αριθμός bits b .
- Αντιστοιχία μίας συνάρτησης βάσης ϕ_m σε κάθε bit.
- Γραμμική διαμόρφωση.
- Χρησιμοποιούνται συχνά σε ατλά κανάλια.



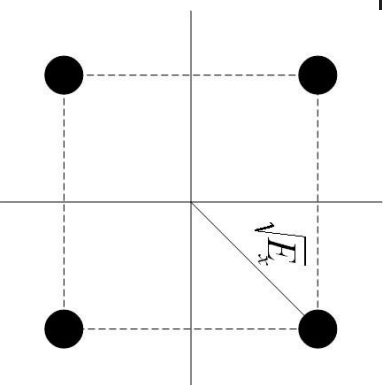
Κυβικοί Αστερισμοί – Παραδείγματα

- **Binary Antipodal:** 2 σήματα ($N=1$), $x_0(t) = \sqrt{\mathcal{E}_x}\phi(t) = -x_1(t)$.
 - **Binary Phase Shift Keying (BPSK):** $\phi(t) = \sqrt{\frac{2}{T}} \sin \frac{2\pi t}{T}$, $t \in [0, T]$, 0 αλλοού.
 - **Bipolar (NRZ):** $\phi(t) = \frac{1}{\sqrt{T}}$, $t \in [0, T]$, 0 αλλοού.
 - **Κωδικοποίηση Manchester (Bi-phase level):** $\phi(t) = \begin{cases} \frac{1}{\sqrt{T}}, & t \in [0, \frac{T}{2}] \\ -\frac{1}{\sqrt{T}}, & t \in [\frac{T}{2}, T] \\ 0 & \text{αλλοού} \end{cases}$
 - Τι εύρος ζώνης απαιτεί κάθε μία από τις παραπάνω $\phi(t)$;
- **On-Off Keying (OOK):** 2 σήματα ($N=1$), $x_0(t) = \sqrt{2\mathcal{E}_x}\phi(t)$. $x_1(t) = 0$.
 - $\phi(t) = \frac{1}{\sqrt{T}}$, $t \in [0, T]$, 0 αλλοού.
 - Υποδέσμερη κατά 3 dB σε σχέση με **binary antipodal** αστερισμούς (γιατί;)
 - Χρησιμοποιείται σε οπτικά συστήματα.

Κυβικοί Αστερισμοί – Παραδείγματα – **QPSK**

- Quadrature Phase Shift Keying (QPSK): 4 σήματα (2 bits $\rightarrow N = 2$).
- $\phi_1(t) = \sqrt{\frac{2}{T}} \cos \frac{2\pi t}{T}$, $t \in [0, T]$, 0 αλλοῦ. $\phi_2(t) = \sqrt{\frac{2}{T}} \sin \frac{2\pi t}{T}$, $t \in [0, T]$, 0 αλλοῦ.
- $\mathbf{x} = [x_1 \ x_2] = \begin{cases} \sqrt{\frac{\mathcal{E}_x}{2}} [-1 \ -1] \\ \sqrt{\frac{\mathcal{E}_x}{2}} [-1 \ +1] \\ \sqrt{\frac{\mathcal{E}_x}{2}} [+1 \ -1] \\ \sqrt{\frac{\mathcal{E}_x}{2}} [+1 \ +1] \end{cases}$
- Ίδιο εύρος ζώνης με τη BPSK. d_{\min}^2 BPSK $= 2d_{\min}^2$ QPSK. Ωστόσο, εάν η ενέργεια ανά διάσταση της QPSK ισούται με την ενέργεια της BPSK η \bar{P}_e της QPSK ισούται με την P_e της BPSK.

QPSK: Υπολογισμός P_e



- Θεωρούμε ότι όλα τα σήματα μεταδίδονται με την ίδια πιθανότητα.
- Πιθανότητα σωστής λήψης: $P_e = \sum_{i=0}^3 P_{e|i} P_{x_i} = P_{e|i}$ γιατί; $\left(1 - Q\left[\frac{d_{\min}}{2\sigma}\right]\right) \left(1 - Q\left[\frac{d_{\min}}{2\sigma}\right]\right) = 1 - 2Q\left[\frac{d_{\min}}{2\sigma}\right] + \left(Q\left[\frac{d_{\min}}{2\sigma}\right]\right)^2$.
- Πιθανότητα σφάλματος: $P_e = 1 - P_e = 2Q\left[\frac{d_{\min}}{2\sigma}\right] - \left(Q\left[\frac{d_{\min}}{2\sigma}\right]\right)^2 < 2Q\left[\frac{d_{\min}}{2\sigma}\right]$
(NNUB) $\Rightarrow \bar{P}_e \approx Q\left[\frac{d_{\min}}{2\sigma}\right] = Q\left[\frac{\sqrt{2E_s}}{2\sigma}\right] = Q\left[\frac{2\sqrt{E_s}}{2\sigma}\right] = Q\left[\frac{d_{\min, \text{BPSK}}}{2\sigma}\right]$.

Ορθογώνιοι Αστερισμοί (Orthogonal Constellations)

- Για τους κυβικούς αστερισμούς είδαμε ότι $N = b$.
- Στους ορθογώνιους αστερισμούς, ο αριθμός σημάτων M είναι ανάλογος της διάστασης. Επομένως, $M = \alpha N \Rightarrow b = \log_2 M = \log_2 \alpha N \Rightarrow \bar{b} = \frac{b}{N} = \frac{\log_2 \alpha N}{N}$.
- Ο αριθμός των bits ανά διάσταση ελαττώνεται όσο αυξάνεται το N !

Παραδείγματα ορθογώνιων αστερισμών

- Block orthogonal: $M = N \Rightarrow$ Μία συνάρτηση βόσης για κάθε σήμα.
 - $\mathbf{x}_i = [0 \dots 0 \sqrt{\mathcal{E}_x} 0 \dots 0]$. $x_i(t) = \sqrt{\mathcal{E}_x} \phi_i(t)$.
 - Frequency Shift Keying (FSK): $\phi_m(t) = \sqrt{\frac{2}{T}} \sin \frac{m\pi t}{T}$, $t \in [0, T]$, 0 αλλού.
 - Ποιά είναι η d_{\min} των block orthogonal;
 - P_e του block orthogonal αστερισμού (βλ. π.χ. Cioffi Ch. 1):
$$P_e = 1 - \int_{-\infty}^{\infty} \frac{1}{\sqrt{2\pi\sigma^2}} e^{-\frac{1}{2\sigma^2}(u - \sqrt{\mathcal{E}_x})^2} [1 - Q(u/\sigma)]^{N-1} du.$$
 - Η $E[\mathbf{x}]$ του αστερισμού block orthogonal είναι μη μηδενική (και ίση με $(\sqrt{\mathcal{E}_x}/M)[1 \ 1 \ \dots \ 1]$).
- Αστερισμός simplex: Block orthogonal μετατοπισμένος κατά $-(\sqrt{\mathcal{E}_x}/M)[1 \ 1 \ \dots \ 1]$ ώστε η $E[\mathbf{x}]$ να ισούται με 0 (και να ελαχιστοποιηθεί, έτσι, η μέση ενέργεια).
Τα σήματα δεν είναι, πλέον, ορθογώνια μεταξύ τους.

Παραδείγματα ορθογώνιων αστερισμών (2)

- **Biorthogonal αστερισμοί:** Προκύπτουν από τους ορθογώνιους αστερισμούς με προσθήκη του αντίθετου σήματος — \mathbf{x} για κάθε σήμα \mathbf{x} .
 - $P_{e, \text{biorthogonal}} = 1 - \int_0^\infty \frac{1}{\sqrt{2\pi\sigma^2}} e^{-\frac{1}{2\sigma^2}(u - \sqrt{E_x})^2} [1 - 2Q(u/\sigma)]^{N-1} du$.
- **Pulse Position Modulation (PPM):** Παλμοί σε διαφορετική θέση στο χρόνο.
- **Pulse Duration Modulation (PDM):** Παλμοί διαφορετικής διάρκειας. Τα σήματα δεν είναι ορθογώνια.
Χρήση σε οπτική αποθήκευση δεδομένων (π.χ. **CD**).

Κυκλικοί Αστερισμοί (Circular Constellations) – MPSK

- Τα σήματα του αστερισμού τοποθετούνται επάνω σε κύκλο ακτίνας $\sqrt{\mathcal{E}_x}$, και σε ίσες μεταξύ τους αποστάσεις. $N = 2$.
- Μόνο η φάση των σημάτων διαφέρει \Rightarrow MPSK κατάλληλη για διαμόρφωση σε κανάλια με μη γραμμική παραμόρφωση πλάτους (π.χ. κανάλια διαλείψεων).
- NNUB: $P_e < 2Q \left[\frac{\sqrt{\mathcal{E}_x} \sin \frac{\pi}{M}}{\sigma} \right]$.

